

## اصلاح یک مدل رفتاری الاستو پلاستیک سخت شونده- نرم شونده کرنشی برای بتن پلاستیک\*

مسعود مهماندوست کتله<sup>(۱)</sup> علی اخترپور<sup>(۲)</sup> مرطی ساری<sup>(۳)</sup>

**چکیده** بتن پلاستیک، بتنی با مقاومت کمتر، شکل‌پذیری بالاتر و نفوذپذیری کمتر از بتن معمولی، یکی از روش‌های مؤثر برای کنترل تراوش سازه‌های آبی احداث شده روی پی‌های آبرفتی تغییر شکل‌پذیر می‌باشد. با توجه به تفاوت‌های رفتاری بتن پلاستیک نسبت به بتن‌های معمولی، اکثر مدل‌های رفتاری پیشنهاد شده برای بتن‌های معمولی، توانایی بسیار محدودی در شبیه‌سازی رفتار تغییرشکلی مصالح بتن پلاستیک دارند و در اکثر موارد مدل ساده مورکولمب را برای این مصالح در نظر می‌گیرند. از این رو تعیین یک مدل رفتاری مناسبی که بتواند رفتار تنش-کرنش و کرنش حجمی-محوری مصالح بتن پلاستیک را به‌طور مناسبی پیش‌بینی نماید ضروری می‌باشد. در این مطالعه با استفاده از یک سری نتایج آزمون‌های سه‌محوری زهکشی شده بر روی مصالح بتن پلاستیک، رفتار مصالح با یک مدل الاستوپلاستیک که ویژگی‌های رفتاری سخت‌شوندگی و نرم‌شوندگی کرنشی مصالح در آن در نظر گرفته می‌شود با استفاده از برنامه تفاضل محدود  $FLAC^{2D}$  شبیه‌سازی شده است. بدین منظور با پیشنهاد توابع اصطکاک، چسبندگی و اتساع بسیج‌شده ویژه‌ای برای مدل رفتاری مذکور، سطح تسلیم و پتانسیل آن به‌گونه‌ای اصلاح شده است که قابلیت مناسبی در شبیه‌سازی رفتار تنش-کرنش و کرنش محوری-حجمی بتن پلاستیک را در شرایط بارگذاری آزمون سه‌محوری زهکشی شده داشته باشد. نتایج این شبیه‌سازی نشان می‌دهد، مدل رفتاری اصلاح‌شده کارایی بسیار مناسبی را در شبیه‌سازی رفتار مصالح بتن پلاستیک دارد.

**واژه‌های کلیدی** مدل رفتاری الاستو- پلاستیک، بتن پلاستیک، مدل رفتاری سخت‌شونده- نرم‌شونده کرنشی، آزمایش سه‌محوری.

## A Strain Hardening/Softening Elasto-Plastic Constitutive Model for Plastic Concrete Materials

M. Mehmandoust Kotlar

A. Akhtarpour

M. Salari

**Abstract** In this research, the behavior of plastic concrete materials with a strain Hardening/Softening Elasto-Plastic constitutive model are investigated using  $FLAC$  software based on a series of drained triaxial test results. The constitutive model is based on the mobilized strength (friction and cohesion) and mobilized dilatation angle concepts. The results indicate that the assumed functions of modified mobilized friction angle and mobilized cohesion (The Yield function of the model) which are common for geotechnical materials, can predict stress-strain behavior with a sufficient accuracy. However, they cannot simulate the Volume changes due to dilation effects accurately, especially for plastic concrete with a relatively high stiffness and strength. Therefore, the potential function of the model is modified. The stress-strain and Volume strains that have been obtained from the modified model are in good agreement with the experimental data, especially for soft plastic concrete, as well as for hard plastic concrete in a low confining pressure.

**Key Words** Elasto-Plastic Constitutive Model, Plastic Concrete, Strain Hardening/Softening, Triaxial Tests.

\* تاریخ دریافت مقاله ۹۴/۱۱/۱۱ و تاریخ پذیرش آن ۹۶/۱/۳۰ می‌باشد.

(۱) فارغ‌التحصیل کارشناسی ارشد مهندسی عمران، دانشکده مهندسی، دانشگاه فردوسی، مشهد.

Email: akhtarpour@um.ac.ir

(۲) نویسنده مسئول، استادیار گروه عمران، دانشکده مهندسی، دانشگاه فردوسی، مشهد.

(۳) فارغ‌التحصیل کارشناسی ارشد مهندسی عمران، دانشکده مهندسی، دانشگاه فردوسی، مشهد.

## مقدمه

افزایش استفاده از بتن به عنوان مصالح سازه‌ای اصلی در ساخت وسازه‌های پیچیده مانند: عروق راکتور، سدها، سازه‌های دریایی و غیره مستلزم توسعه مدل‌های رفتاری پیچیده برای پیش‌بینی دقیق پاسخ مصالح در شرایط مختلف بارگذاری می‌باشد. تحولات جدید که در حال وقوع در زمینه تکنولوژی بتن است منتج به نسل‌های جدید از بتن گردیده است که از نظر عملکرد بهتر هستند؛ مانند: بتن با مقاومت بالا (High Strength Concrete)، بتن با پودر فعال (Reactive Powder Concrete)، بتن سبک با کارایی بالا (High Performance Light weight Concrete) خودمترکم (Self-Compacting Concrete) بتن پلاستیک (Plastic Concrete) و غیره.

در ادبیات فنی برای پیش‌بینی رفتار بتن، نظریه‌های متعددی نظیر مدل‌های تجربی [1-3]، الاستیک خطی [4,5]، الاستیک غیرخطی [۱]، مدل‌های مبتنی بر پلاستیسیت [6-8]، مدل‌های مبتنی بر تئوری Endochronic غیرارتجاعی [9-12]، مدل‌های شکست و مکانیک تخریب پیوسته (Fracturing models and continuum damage mechanics models) [13-16]، مدل‌های میکرومکانیک (Micromechanics Models) [17-20] و غیره وجود دارد. ادغام معادلات ساختاری، حل معادلات غیرخطی، تعیین معیارهای شکست، تسلیم و پتانسیل مناسب، مسائل اصلی در میان محققان می‌باشند. طیف وسیعی از این تحقیقات با ریشه‌های آنالیز عددی مانند روش اجزای محدود خطی (LFEM) و غیرخطی (NLFEM)، روش المان مرزی (BEM) و غیره گزارش شده است [21-25]. از جمله پژوهش‌های اخیر می‌توان به پژوهش ژائو لی و همکاران [26] اشاره نمود که شامل یک مدل الاستو-پلاستیک است با در نظرگیری بسیج‌شوندگی مقاومت برای سنگ‌های نرم که رفتاری تقریباً مشابه با بتن پلاستیک دارند. لی جان لیو و همکاران نیز [27] با استفاده از مدل غیرخطی کنت-پارک، موجود در نرم‌افزار اپنسیس و اصلاح برخی

از پارامترهای آن از جمله حداکثر کرنش، تنش و مدول الاستیک، رفتار غیرخطی تنش-کرنش بتن‌های با مقاومت بالا را مدل‌سازی نمودند. همچنین ژانگ و همکاران [28]، تحلیل غیرخطی تنش-کرنش بتن پلاستیک را به صورت تحلیل عددی اجزای محدود (FEM) با استفاده از برنامه THEPD انجام دادند و سپس خصوصیات مکانیکی و پارامترهای مدل الاستیک غیرخطی دانکن-چانگ [29] را برای بررسی رفتار غیرخطی بتن پلاستیک به دست آوردند. بازان و شیبه [30] نیز با استفاده از یکی از قدرتمندترین مدل‌های ریاضی، نظریه Endochronic، رفتار غیرخطی سه‌محوری بتن را به صورت اجزای محدود مدل‌سازی نمودند. آنها تأثیر پارامترهای موجود در این تئوری را بر روی توابع سخت‌شوندگی و نرم‌شوندگی بررسی نمودند.

با توجه به توصیف متناقض و نادرست رفتار بتن توسط مدل‌های الاستیک غیرخطی و همچنین پیچیدگی و کار محاسباتی عظیم تئوری‌های پیوسته‌ای مانند Endochronic [9,30-32] و Microplane [19,33-34] که برای توصیف رفتار غیرارتجاعی بتن، به وجود شرایط تسلیم نیازی ندارند، نظریه‌های مبتنی بر پلاستیسیت، روش‌های نسبتاً مناسب‌تری برای شبیه‌سازی رفتار غیرارتجاعی بتن می‌باشند. در نظریه-های مبتنی بر پلاستیسیت تعیین معیار تسلیم، قانون جریان و قانون سخت‌شوندگی سه اصل زیربنایی هر مدل رفتاری می‌باشند.

در سال ۱۹۸۴، ورمیر و دی بورست [35] نوعی مدل رفتاری الاستوپلاستیک را برای مصالح بتنی و خاکی پیشنهاد نمودند. این مدل دارای سطح تسلیم مورکولمب می‌باشد که با تعریف توابع تجربی بسیج‌شده برای پارامترهای اصلی مورکولمب  $(\psi, c, \phi)$ ، ویژگی‌های رفتاری سخت‌شوندگی و نرم‌شوندگی کرنشی در آن در نظر گرفته شده است. در این مطالعه نیز، با انجام برخی اصلاحات در توابع بسیج‌شونده پارامترهای مدل رفتاری مذکور، قابلیت این

این پژوهش رابطه پیشنهادی جانبو [38] برای تعریف این وابستگی مورد استفاده قرار می‌گیرد.

$$E_i = K.P_a \left( \frac{\sigma_3}{P_a} \right)^n \quad (1)$$

در رابطه (۱)،  $E$  مدول یانگ،  $K$  پارامتر مدول الاستیک،  $P_a$  فشار اتمسفر و  $n$  توان وابستگی مدول به تنش همه‌جانبه می‌باشند. با توجه به نتایج آزمون‌های سه‌محوری می‌توان مقادیر پارامترهای  $K$  و  $n$  را نیز تعیین نمود.

### تابع تسلیم و معرفی توابع سخت‌شوندگی

**اصطکاک و نرم‌شوندگی چسبندگی.** در مدل رفتاری ورمیر و دی بورست [35]، برای شبیه‌سازی رفتار سخت‌شوندگی و نرم‌شوندگی مصالح از مفهوم زاویه اصطکاک بسیج‌شده  $\phi^*$  و چسبندگی بسیج‌شده  $c^*$  استفاده می‌شود که هر دو تابعی از کرنش پلاستیک  $\epsilon^p$  به‌عنوان یک پارامتر سخت‌شونده-نرم‌شونده هستند. بر این اساس، تابع تسلیم این مدل به‌صورت زیر معرفی می‌شود:

$$f = \tau^* - \sigma^* \sin \phi^* - c^* \quad (2)$$

که در این رابطه  $\tau^*$  مقاومت برشی بسیج‌شده است. در ادامه نیز توابع مربوط به زاویه اصطکاک بسیج‌شده  $\phi^*$  و چسبندگی بسیج‌شده  $c^*$  معرفی خواهد شد.

### سخت‌شوندگی اصطکاک. ورمیر و دی بورست [35]

رابطه (۳) را برای شبیه‌سازی سخت‌شوندگی اصطکاک مصالح ژئوتکنیکی پیشنهاد نمودند. در این رابطه زاویه اصطکاک بسیج‌شده،  $\phi^*$ ، به کرنش پلاستیک  $\epsilon^p$ ، وابسته است و تا رسیدن به مقدار حداکثر،  $\phi_p$ ، به تدریج افزایش می‌یابد.

مدل برای شبیه‌سازی رفتار تنش-کرنش و کرنش حجمی-محوری نمونه‌های استوانه‌ای بتن پلاستیک بسیار تغییرشکل‌پذیر مورد استفاده در دیوار آب‌بند سد خاکی سومبار (واقع شده در شمال شرق ایران) [36] و بتن پلاستیک با تغییرشکل‌پذیری کمتر مورد استفاده در ساخت دیوار آب‌بند پروژه Three Gorges (واقع در رود یانگ تسه چین) [28] در شرایط بارگذاری آزمون سه‌محوری زهکشی شده مورد بررسی قرار گرفته‌است.

### اصلاح مدل رفتاری سخت‌شونده-نرم‌شونده

**کرنشی برای بتن پلاستیک.** ارتباط تنش-کرنش بتن پلاستیک تحت شرایط بارگذاری، باربرداری و بارگذاری مجدد، همانند سنگ‌های نرم بسیار پیچیده می‌باشد. یک مدل رفتاری مناسب برای بتن پلاستیک باید قادر باشد مقاومت برشی حداکثر، رفتار سخت‌شوندگی-نرم‌شوندگی و تغییر سختی وابسته به تنش همه‌جانبه را در نظر بگیرد. در این تحقیق با اصلاح یک مدل رفتاری سخت‌شونده-نرم‌شونده کرنشی موجود در برنامه تفاضل محدود FLAC و با استفاده از قابلیت برنامه‌نویسی FISH موجود در برنامه [37] سعی شده‌است ویژگی‌های فوق‌منظور گردد. برای منظور نمودن رفتار سخت‌شوندگی و نرم‌شوندگی بتن پلاستیک، مدل سخت‌شونده-نرم‌شونده کرنشی ورمیر و دی بورست [35] به‌کار گرفته شده‌است. با مطالعه دقیق داده‌های آزمایشگاهی بتن پلاستیک موجود در این پژوهش، روابط ویژه‌ای برای پیش‌بینی رفتار سخت‌شوندگی و نرم‌شوندگی مصالح بتن پلاستیک ارائه شده‌اند.

### وابستگی مدول الاستیک به تنش همه‌جانبه

رفتار تنش-کرنش الاستیک مصالح با کمک دو پارامتر مدول الاستیسیته ( $E$ ) و ضریب پواسون ( $U$ ) قابل توصیف است. بسیاری از شواهد نشان می‌دهند که مدول الاستیسیته ( $E$ ) وابسته به فشار همه‌جانبه است. در

سخت شوندگی، کنترل کننده ناحیه الاستیک مصالح در تنش های همه جانبه مختلف می باشد. هر دو پارامتر  $\varepsilon^c$  و  $c$  با انجام آنالیز برگشتی بر روی داده های آزمایش سه محوری و گرفتن حداکثر تطبیق تعیین می شوند. شکل (۱-ب) تغییرات کاهش چسبندگی بسیج شده را در توان های (P) مختلف رابطه (۵) در مقابل کرنش پلاستیک  $\varepsilon^p$  نشان می دهد. در رابطه (۵) این توان معادل ۲ برای ماسه سنگ پیشنهاد شده است.

رابطه پیشنهادی نرم شوندگی چسبندگی توسط ورمیر و دی بورست [35] با توجه به نتایج یک آزمون بر روی ماسه سنگ به طور تقریباً دقیقی برای این مصالح اثبات شده است، اما پاسخ های این رابطه تا حدی برای مصالح بتن پلاستیک متفاوت تر هستند. با توجه به شکل (۱-ب) ملاحظه می شود که با تغییر توان (P) رابطه (۵)، نرخ کاهش چسبندگی با افزایش میزان کرنش متفاوت خواهد بود. مصالح بتن پلاستیک به دلیل وجود میکروترک های قبل از بارگذاری، برخلاف ماسه سنگ ها، پس از بارگذاری بلافاصله شروع به کاهش چسبندگی می کنند که تا کرنش  $\varepsilon^c$  روند نرخ کاهش آنها شدید است و پس از آن تقعر منحنی تغییر می کند و با توجه به توسعه تدریجی میکروترک ها روند کاهش چسبندگی پس از نقطه عطف ملایم تر و در کرنش های بالاتری نسبت به ماسه سنگ ها به چسبندگی صفر نزدیک می شود. بنابراین با توجه به شکل (۱-ب) و همچنین نتایج شبیه سازی یک سری آزمایش های سه محوری روی مصالح بتن پلاستیک (که در بخش های بعدی آورده خواهد شد)، رابطه (۶) که صورت اصلاح شده ای از رابطه (۵) است برای شبیه سازی رفتار نرم شوندگی کرنشی مصالح بتن پلاستیک مورد استفاده در این مطالعه پیشنهاد می گردد:

$$c^* = c \exp \left[ - \left( \frac{\varepsilon^p}{\varepsilon^c} \right)^{\frac{3}{2}} \right] \quad (6)$$

تنها تفاوت این رابطه با رابطه (۵) در توان نسبت

$$\begin{cases} \sin \varphi^* = 2 \frac{\sqrt{(\varepsilon^p \varepsilon^f)}}{\varepsilon^p + \varepsilon^f} \sin \varphi_p & \text{for } \varepsilon^p < \varepsilon^f \quad (3) \\ \sin \varphi^* = \sin \varphi_p & \text{for } \varepsilon^p > \varepsilon^f \end{cases}$$

در روابط فوق،  $\varepsilon_f$  کرنش پلاستیک در زاویه اصطکاک حداکثر  $\varphi_p$ ، می باشد. این رابطه به منظور تدقیق مناسب تر مرز بین رفتار الاستیک و پلاستیک در مصالح بتن پلاستیک به صورت رابطه (۴) اصلاح شده است:

$$\begin{cases} \sin \varphi^* = \sin \varphi_0 + 2 \frac{\sqrt{(\varepsilon^p \varepsilon^f)}}{\varepsilon^p + \varepsilon^f} (\sin \varphi_p - \sin \varphi_0) & \text{for } \varepsilon^p < \varepsilon^f \\ \sin \varphi^* = \sin \varphi_p & \text{for } \varepsilon^p > \varepsilon^f \end{cases} \quad (4)$$

در این رابطه  $\varphi_0$  زاویه اصطکاک اولیه مصالح است. شکل (۱-الف) تغییرات افزایشی سینوس زاویه اصطکاک بسیج شده را مطابق با رابطه (۴) در مقابل کرنش پلاستیک  $\varepsilon^p$  نشان می دهد. فرمول های مفید دیگری نیز توسط محققان مختلفی ارائه شده است [39].

**نرم شوندگی چسبندگی.** ورمیر و دی بورست [35] با کمک نتایج یک سری از آزمون های سه محوری روی نمونه های ماسه سنگ و با توجه به کاهش تدریجی سیما تاسیون نمونه های سنگ و بتن سالم در اثر توسعه ریزترک ها، رابطه نرم شوندگی چسبندگی را مطابق با رابطه (۵) ارائه نمودند.

$$c^* = c \exp \left[ - \left( \frac{\varepsilon^p}{\varepsilon^c} \right)^2 \right] \quad (5)$$

در این رابطه  $\varepsilon^c$  یک ثابت مشابه با  $\varepsilon^f$  در رابطه سخت شوندگی (رابطه ۳) می باشد.  $\varepsilon^f$  کرنش مورد نیاز برای بسیج شدن زاویه اصطکاک تا مقدار حداکثر  $\varphi_p$  را مشخص می کند و  $\varepsilon^c$  نشان دهنده کرنش مورد نیاز برای کاهش چسبندگی است. مقدار  $c$  نیز در این رابطه با توجه به نیمی از اختلاف تنش های اصلی ماکزیمم و مینیمم ناحیه الاستیک نمودار تنش-کرنش آزمایشگاهی به دست می آید که در واقع علاوه بر پارامتر  $\varphi_0$  در رابطه

**رفتار اتساعی.** اتساع به عنوان تغییرات حجم ناشی از اعوجاج برشی در یک المان از مصالح تعریف می‌شود. بدیهی است که یک زاویه اتساع ثابت برای پیش‌بینی رفتار بتن پلاستیک کافی نیست. راو [40] رابطه (۸) را برای شبیه‌سازی رفتار اتساعی مصالح ژئوتکنیکی ارائه داده است. این معادله رابطه بین زاویه اتساع بسیج شده  $\psi^*$  و کرنش پلاستیک  $\epsilon^p$  را درحالی که زاویه اصطکاک بسیج شده  $\varphi^*$  تابعی از کرنش پلاستیک  $\epsilon^p$  می‌باشد، بیان می‌کند.

$$\sin \psi^* = \frac{\sin \varphi^* - \sin \varphi_{cv}}{1 - \sin \varphi^* \sin \varphi_{cv}} \quad (۸)$$

در این رابطه  $\varphi_{cv}$  را که دارای مقداری ثابت است و زاویه اتساع در آن صفر می‌باشد «زاویه اصطکاک حجم ثابت» می‌گویند که متناظر با شرایط تغییر شکل با حجم ثابت می‌باشد. این کمیت از رابطه (۹) استخراج می‌گردد:

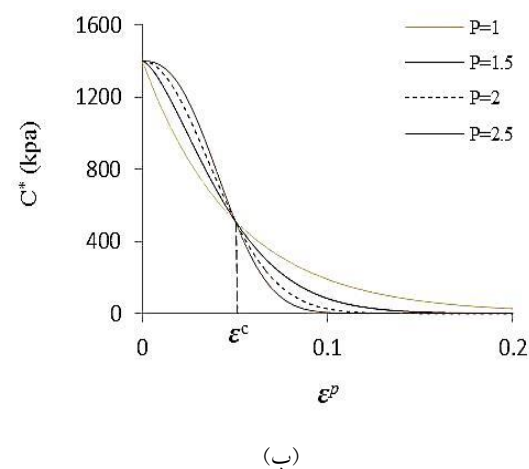
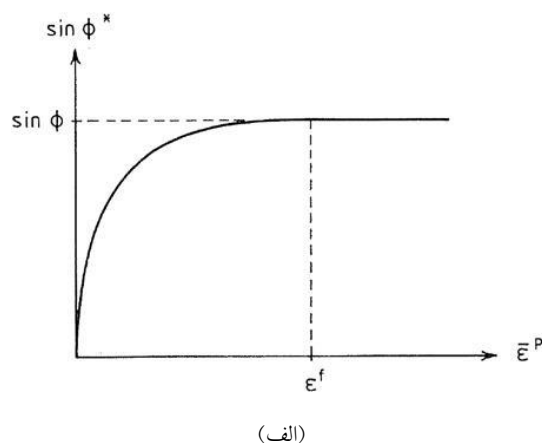
$$\sin \varphi_{cv} = \frac{\sin \varphi_p - \sin \psi_p}{1 - \sin \varphi_p \sin \psi_p} \quad (۹)$$

رابطه (۸) برای ماسه به‌طور دقیقی اثبات شده است؛ اما با توجه به فرضیات محدودکننده موجود در نظریه اتساعی راو [40] و همچنین شبیه‌سازی عددی نتایج آزمایشگاهی حجمی بتن پلاستیک موجود در این پژوهش، مشخص می‌شود که تابع راو، دارای دقت کافی در شبیه‌سازی رفتار حجمی مصالح دانه‌ای سیمانته شده نمی‌باشد؛ لذا اصلاحاتی مطابق با آنچه در ادامه شرح داده خواهد شد در رابطه راو توسط مؤلفان پیشنهاد گردیده است. بدین منظور با اعمال ضریبی  $(0 < F < 1)$  به مقدار به‌دست آمده زاویه اتساع و تغییر در نرخ بسیج‌شدگی آن، مناسب‌ترین نتایج شبیه‌سازی رفتار حجمی مصالح بتن پلاستیک با استفاده از آنالیز برگشتی به‌دست آمده است و تابع ذیل که در واقع شکل اصلاح شده‌ای از تابع راو می‌باشد به‌شرح رابطه (۱۰) پیشنهاد می‌گردد:

$$\sin \psi^* = \begin{cases} \sin(F \cdot \theta) & F \cdot \theta \leq \psi_p \\ \sin \psi_p & F \cdot \theta > \psi_p \end{cases} \quad (۱۰)$$

که  $\theta$  از رابطه (۱۱) به‌دست می‌آید.

کرنش‌ها می‌باشد که نشان از روند ملایم‌تر نرم‌شوندگی-چسبندگی در مصالح بتن پلاستیک دارد. بنابراین در این پژوهش از توابع (۴ و ۶) برای شبیه‌سازی رفتار سخت‌شونده-نرم‌شونده کرنشی بتن پلاستیک استفاده شده است که در بخش‌های بعد به آن پرداخته خواهد شد.



شکل ۱ رابطه شبه‌تجربی در مدل سخت‌شونده-نرم‌شونده کرنشی

### تابع پتانسیل پلاستیک و رفتار اتساعی

برای شبیه‌سازی رفتار حجمی بتن پلاستیک و اجتناب از اتساع‌های بیش از حد بزرگ، یک تابع پتانسیل مناسب که تقریباً با تابع تسلیم یکسان است معرفی می‌شود.

$$g = \tau^* - \sigma^* \sin \psi^* + \text{cons.} \quad (۷)$$

که در این رابطه  $\psi^*$  زاویه اتساع بسیج شده می‌باشد.

با مقاومت بسیار کمتر از بتن معمولی، شکل پذیری بالا و نفوذ پذیری پایین می باشد. مواد تشکیل دهنده بتن پلاستیک سیمان، سنگدانه، دوغاب بتونیت و مواد افزودنی همچون رس و پودر آهک هیدراته است. در این تحقیق از آزمایش های سه محوری تحکیم یافته زهکشی شده (CD) نمونه هایی با طرح اختلاط هایی مطابق با جدول (۱) استفاده شده است. بتن پلاستیک سد سومبار [۲] به عنوان یک نمونه از بتن های پلاستیک نرم و کم مقاومت است و بتن پلاستیک فرازبندهای پروژه Three Gorges [28] به عنوان نمونه ای از بتن های پلاستیک نسبتاً سخت و پرمقاومت محسوب می گردد.

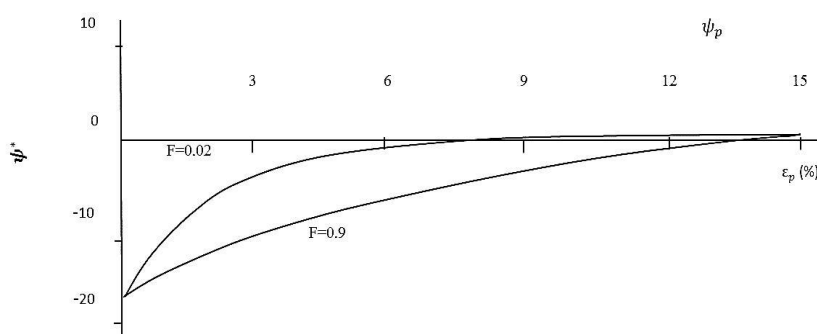
برای هر یک از این پروژه ها، آزمایش سه محوری روی سه نمونه بتن پلاستیک با طرح اختلاط یکسان در تنش های همه جانبه مختلف انجام شده است. سن نمونه های مورد آزمایش ۲۸ روزه بوده است. در طی آزمایش های سه محوری زهکشی شده، ابتدا نمونه ها اشباع شده است، سپس تحت شرایط کرنش کنترل شده طبق استاندارد BS1377-PB با سرعت ۰/۱ میلی متر بر دقیقه بارگذاری انجام شده است.

$$\theta = \sin^{-1} \left( \frac{\sin \varphi^* - \sin \varphi_{cv}}{1 - \sin \varphi^* \sin \varphi_{cv}} \right) \quad (11)$$

در روابط فوق  $\psi_p \leq +90^\circ$  و  $F$  نیز یک عدد حقیقی مثبت می باشد. پارامتر  $F$  نرخ افزایش زاویه اتساع بسیج شده را نشان می دهد و براساس نتایج آزمایش ها سه محوری مصالح تعیین می گردد. این کمیت تابع تنش همه جانبه است و نمونه های بتن پلاستیک با کرنش حجمی بیشتر، دارای ضریب  $F$  بالاتری خواهند بود. در شکل (۲) تغییرات زاویه اتساع بسیج شده با کرنش پلاستیک برای مقادیر متفاوت  $F$  براساس رابطه (۱۰) ارائه شده است. مطابق شکل، زاویه اتساع بسیج شده از یک مقدار اولیه تا مقدار حداکثر  $\psi_p$  افزایش یافته است. همان طور که ملاحظه می شود پارامتر  $F$  کنترل کننده میزان انحنای این منحنی ها می باشد که بیانگر نرخ تغییرات زاویه اتساع بسیج شده با افزایش کرنش پلاستیک می باشد.

### نتایج شبیه سازی

مشخصات مصالح بتن پلاستیک. بتن پلاستیک، بتنی



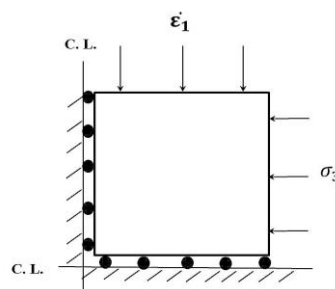
شکل ۲ تغییرات زاویه اتساع بسیج شده با تغییرات ضریب  $F$

جدول ۱ طرح اختلاط بتن پلاستیک سد خاکی سومبار [1] و فرازبندهای پروژه Three Gorges [2]

نام سد	آب $\text{kg/m}^3$	سیمان $\text{kg/m}^3$	بتونیت $\text{kg/m}^3$	ماسه $\text{kg/m}^3$	شن $\text{kg/m}^3$
سومبار	۴۲۰	۱۰۰	۴۰	۵۳۵	۴۶۵
فرازبند پروژه Three Gorges	۳۸۵	۲۶۵	۵۵	۱۳۱۰	---

### شبیه‌سازی رفتار مصالح بتن پلاستیک موجود

باتوجه به اینکه در برنامه FLAC امکان برنامه‌نویسی و اصلاح مدل‌های رفتاری وجود دارد، کلیه شبیه‌سازی‌های عددی این مقاله با استفاده از قابلیت برنامه‌نویسی FISH [41] در نرم‌افزار مذکور صورت گرفته است. در این پژوهش برای شبیه‌سازی نتایج آزمایشگاهی سه‌محوری بتن پلاستیک، مدل‌سازی بر روی یک تک‌المان در شرایط تقارن محوری (به‌منظور کاهش زمان تحلیل) با در نظر گرفتن شرایط مرزی و اولیه مناسب انجام شده است (شکل ۳). پس از اعمال فشار جانبی، تغییر شکل محوری با سرعت مشخصی به مرز فوقانی المان اعمال گردیده است.



شکل ۳ نحوه مدل‌سازی تک‌المان در مدل عددی

کلیه توابع و وابستگی‌های معرفی شده در بخش قبل با استفاده از قابلیت برنامه‌نویسی نرم‌افزار (FISH) به مدل رفتاری مصالح بتن پلاستیک اعمال گردیده است. برنامه نوشته شده در هر گام از تحلیل، کرنش‌های برشی پلاستیک را محاسبه می‌نماید و براساس توابع تعریف شده برای هر یک از پارامترهای موجود، کلیه پارامترهای مدل به‌روزرسانی می‌گردد. با تغییر در

پارامترها و انجام سعی و خطا سعی شده است تا متناسب‌ترین انطباق بر نتایج حاصل از آزمون سه‌محوری مصالح حاصل گردد.

پارامترهای هر یک از این آزمایش‌ها براساس حصول حداکثر تطبیق بین مدل عددی و نتایج آزمایشگاهی مطابق جدول (۲) تعیین شده است. این پارامترها، تابعی از تنش همه‌جانبه می‌باشند که با به دست آوردن مقادیر این پارامترها در تنش‌های همه‌جانبه مختلف و برازش یک خط از آنها، می‌توان این پارامترها را به صورت تابعی از تنش همه‌جانبه به شرح جدول (۳) به دست آورد. از آنجاکه خصوصیات مصالح بتن پلاستیک نرم نسبت به بتن پلاستیک سخت به مصالح ژئوتکنیکی نزدیک‌تر می‌باشد پارامترهای بتن پلاستیک نرم نسبت به بتن پلاستیک سخت تحت تأثیر بیشتری از تنش همه‌جانبه قرار می‌گیرند و تغییرات آنها با افزایش فشار همه‌جانبه شدیدتر است. انحنای موجود در پوش گسیختگی مصالح بتن پلاستیک موجود، سبب شده است تا با افزایش تنش همه‌جانبه مقدار  $\varphi_p$  کاهش و مقدار  $c$  افزایش یابد که شدت تغییرات آنها در بتن پلاستیک نرم بیشتر است. پارامتر  $F$  نیز همان‌طور که قبلاً نیز ذکر شد با افزایش میزان تنش همه‌جانبه، افزایش می‌یابد که این امر سبب تغییر نرخ بسیج‌شوندگی زاویه اتساع و شبیه‌سازی بهتر رفتار حجمی به خصوص در بتن پلاستیک نرم می‌شود. این پارامتر در هر دو بتن پلاستیک سخت و نرم بین صفر و یک است ( $0 < F < 1$ ) و از آنجاکه بتن پلاستیک سخت دارای تغییرات حجمی بسیار کمتری در حین انقباض می‌باشد این ضریب به صفر نزدیک‌تر است.

جدول ۲ پارامترهای حاصل از مدل رفتاری اصلاح شده برای هر یک آزمایش‌های سه‌محوری

مصالح	$\sigma_3$ (kg/cm <sup>3</sup> )	$\nu$	C (kPa)	$\epsilon_f$ (%)	$\epsilon_c$ (%)	F	$\varphi_p$	$\varphi_0$	$\psi_p$
بتن پلاستیک سد سومبار	۱	۰/۴	۸	۱۵	۱۱	۰/۱۵	۳۶	۱۸	۰/۵۲
	۳	۰/۳	۱۳	۱۶	۱۴	۰/۴۵	۳۳/۵	۱۶	۰
	۵	۰/۲	۱۵	۱۷	۱۵	۰/۸۲	۳۰/۳	۱۵	۰
بتن پلاستیک فرازبندهای پروژه Three Gorges	۱	۰/۴۷	۱۵۰۰	۵	۲/۵	۰/۰۳۵	۳۳	۱۲	۰/۴
	۴	۰/۴۶	۱۵۵۰	۷	۴/۵	۰/۰۴	۳۲	۸	۰
	۷	۰/۴۵	۱۶۰۰	۸	۵/۵	۰/۰۵۲	۳۰/۵	۶	۰

جدول ۳ پارامترهای مدل رفتاری اصلاح‌شده برای بتن‌پلاستیک‌های موجود در این پژوهش

پارامتر	بتن‌پلاستیک سد سومبار	بتن‌پلاستیک فرازبندهای پروژه Three Gorges
$\rho \left( \frac{\text{gf}}{\text{cm}^3} \right)$	2	2
n	0.65	0.025
K . P <sub>a</sub> (kPa)	42000	10 <sup>6</sup>
v	$-0.27 \log \left( \frac{\sigma_3}{P_a} \right) + 0.4$	$-0.022 \log \left( \frac{\sigma_3}{P_a} \right) + 0.47$
C (KPa)	$10.09 \log \left( \frac{\sigma_3}{P_a} \right) + 8.045$	$112 \log \left( \frac{\sigma_3}{P_a} \right) + 1496.2$
$\varepsilon^f$ (%)	$2.74 \log \left( \frac{\sigma_3}{P_a} \right) + 15$	$3.5 \log \left( \frac{\sigma_3}{P_a} \right) + 5$
$\varepsilon^c$ (%)	$5.8 \log \left( \frac{\sigma_3}{P_a} \right) + 11$	$3.5 \log \left( \frac{\sigma_3}{P_a} \right) + 2.5$
F	$0.9 \log \left( \frac{\sigma_3}{P_a} \right) + 0.12$	$0.02 \log \left( \frac{\sigma_3}{P_a} \right) + 0.034$
$\varphi_p$	$-7.7 \log \left( \frac{\sigma_3}{P_a} \right) + 36.3$	$-2.7 \log \left( \frac{\sigma_3}{P_a} \right) + 33$
$\varphi_0$	$-4.3 \log \left( \frac{\sigma_3}{P_a} \right) + 18$	$-7 \log \left( \frac{\sigma_3}{P_a} \right) + 12$
$\psi_p$	$0.52^\circ$ $\frac{\sigma_3}{P_a} < 1$ $0^\circ$ $\frac{\sigma_3}{P_a} \geq 1$	$0.4^\circ$ $\frac{\sigma_3}{P_a} < 4$ $0^\circ$ $\frac{\sigma_3}{P_a} \geq 4$

کاهش چسبندگی ( $\varepsilon^c$ ) تقریباً نیمی از کرنش نهایی مصالح ( $\varepsilon^f$ ) می‌باشد.

همچنین در شکل (۴) نمودارهای کرنش محوری- حجمی بیانگر قابلیت شبیه‌سازی رفتار حجمی مصالح بتن‌پلاستیک می‌باشند. باتوجه به اینکه تابع پتانسیل پیشنهادی راو که برای مصالح ژئوتکنیکی ارائه‌شده است و دقت کافی را در مدل‌سازی رفتار حجمی بتن‌پلاستیک ندارد تابع پتانسیل اصلاح‌شده پیشنهادی قابلیت شبیه‌سازی مدل رفتاری اصلاح‌شده را به‌ویژه در بتن‌پلاستیک نرم و در تنش‌های همه‌جانبه پایین برای بتن‌پلاستیک سخت دارا می‌باشد. هرچند تابع اصلاح‌شده در تنش‌های همه‌جانبه بالا تا قبل از نقطه حداکثر، کرنش‌های حجمی بالاتری را نسبت به مقادیر آزمایشگاهی نشان می‌دهد باین‌حال در نقطه حداکثر هم‌گرا می‌گردد. البته قابل‌ذکر است که این تفاوت کرنش حجمی بتن‌پلاستیک قبل از نقطه حداکثر بین مدل عددی و آزمایشگاهی، باتوجه به مقادیر بسیار کوچک تغییرات حجمی آنها قابل‌چشم‌پوشی می‌باشند. درنهایت خلاصه‌ای از پارامترهای مدل سخت‌شونده- نرم‌شونده کرنشی و عملکرد هر یک از

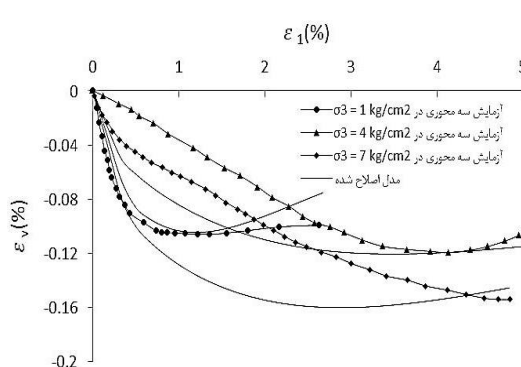
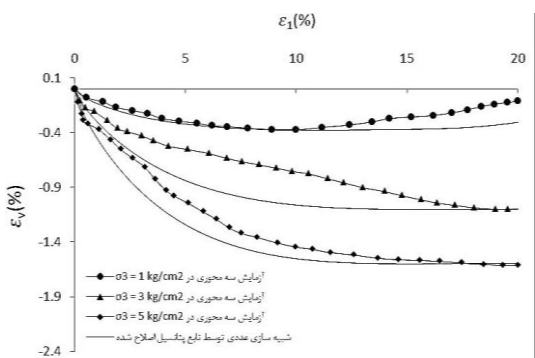
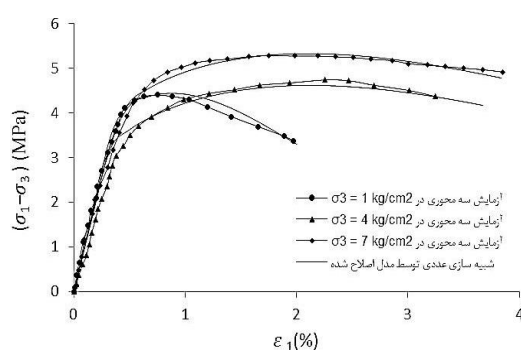
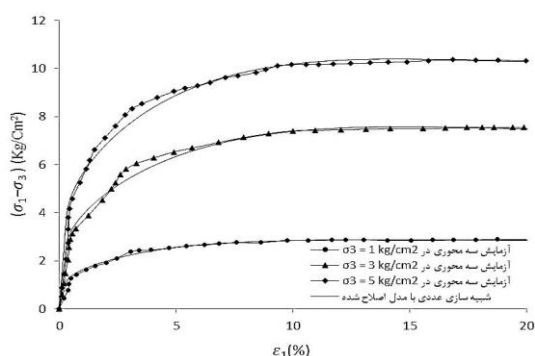
نتایج حاصل از شبیه‌سازی در تنش‌های همه‌جانبه مختلف، در شکل (۴) آورده‌شده است. نمودارهای تنش‌انحرافی- کرنش محوری بیانگر قابلیت شبیه‌سازی مناسب رفتار تنش- کرنش بتن‌پلاستیک نرم سد سومبار و بتن‌پلاستیک سخت فرازبندهای پروژه Three Gorges براساس توابع اصلاح‌شده زاویه اصطکاک بسیج‌شده و چسبندگی بسیج‌شده در تنش‌های همه‌جانبه مختلف، می‌باشد. همان‌طور که ملاحظه می‌شود این توابع هم‌زمان هر سه رفتار الاستیک، سخت‌شونده و نرم‌شونده بتن‌پلاستیک‌های نرم و سخت را با دقت کافی شبیه‌سازی نموده‌اند. نتایج آزمایشگاهی تنش- کرنش بتن‌پلاستیک نرم سد سومبار نشان می‌دهد این بتن پس از نقطه حداکثر مقاومت، از خود رفتار نرم‌شونده نشان نمی‌دهد و به‌همین دلیل نیز مقدار کرنش موردنیاز برای افزایش میزان اصطکاک بتن ( $\varepsilon^f$ ) و کاهش چسبندگی ( $\varepsilon^c$ ) باتوجه به نتایج حاصل از شبیه‌سازی (نگاه کنید به جدول ۴) تقریباً مقادیر یکسانی دارند. درحالی‌که بتن‌پلاستیک سخت فرازبندهای پروژه Three Gorges پس از نقطه حداکثر مقاومت از خود رفتار نرم‌شونده نشان می‌دهد و کرنش موردنیاز برای



رفتاری خطی الاستیک-کاملاً پلاستیک می باشد که قادر به مدل نمودن هیچ یک از رفتارهای غیرخطی سخت شونده و نرم شونده کرنشی مصالح نمی باشد. مطابق شکل (۵-ب) نیز ملاحظه می شود که مدل رفتاری هذلولی [29] یک مدل الاستیک غیرخطی است که اصولاً قادر به مدل سازی کرنش های پلاستیک و نیز رفتار نرم شونده پس از مقاومت حداکثر نمی باشد. هر دو مدل موهر-کولمب و مدل الاستیک غیرخطی هذلولی به دلیل ثابت بودن مقدار ضریب پواسون و همچنین ثابت بودن مقدار زاویه اتساع پس از نقطه شکست، تغییر شکل ها را به صورت خطی مدل می نمایند. این در حالی است که مدل رفتاری پیشنهادی توسط مؤلفان، قادر به مدل نمودن هم زمان رفتار غیرخطی سخت شونده و نرم شونده کرنشی می باشد.

این پارامترها در شبیه سازی نتایج آزمایشگاهی سه محوری موجود در این پژوهش در جدول (۴) ارائه شده است.

در این بخش کارایی مدل رفتاری اصلاح شده پیشنهادی توسط مؤلفان را نسبت به دو مدل متداول در مصالح ژئوتکنیکی شامل مدل موهر-کولمب (که در اکثر مصالح بتن پلاستیک این مدل در نظر گرفته می شود) و مدل الاستیک غیرخطی هذلولی را برای بتن پلاستیک مورد ارزیابی قرار می دهیم. به عنوان نمونه مطابق شکل (۵) نتایج شبیه سازی مدل رفتاری پیشنهادی توسط مؤلفان و همچنین دو مدل مذکور را برای نتایج آزمایش سه محوری بتن پلاستیک فرازبندهای پروژه Three Gorges در تنش همه جانبه ۴ کیلوگرم بر سانتی متر مربع، رسم نموده ایم. مطابق شکل (۵-الف) ملاحظه می شود که مدل رفتاری موهر-کولمب یک مدل



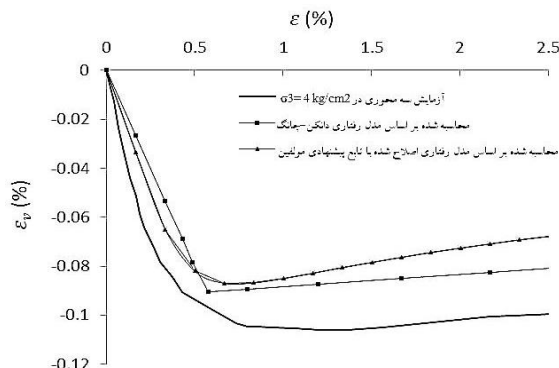
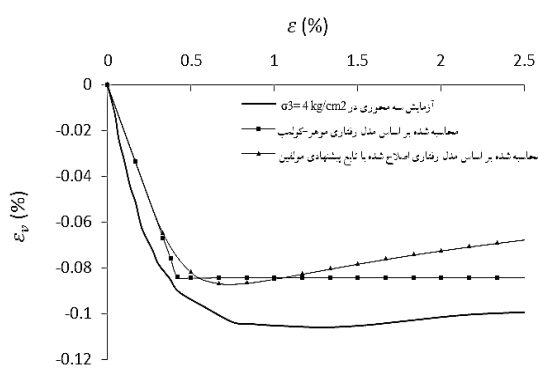
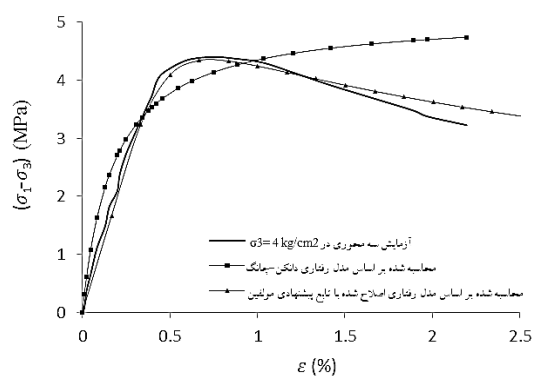
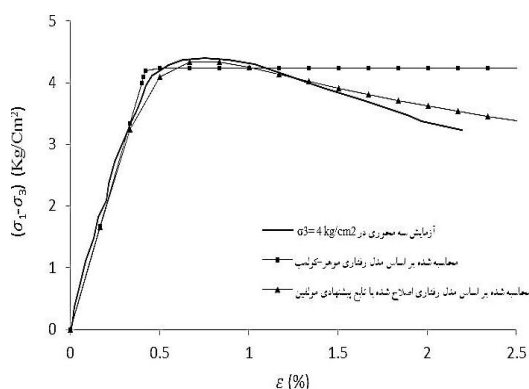
(الف)

(ب)

شکل ۴ نتایج شبیه سازی منحنی های تنش-کرنش و کرنش محوری-حجمی بتن پلاستیک دیوار آب بند (الف) سد سومبار (ب) فرازبندهای پروژه Three Gorges با منحنی های آزمایشگاهی

جدول ۴ خلاصه‌ای از پارامترهای مدل سخت شونده- نرم شونده کرنشی و عملکرد هر یک در شبیه‌سازی نتایج آزمایش‌های سه‌محوری

پارامتر	عملکرد پارامتر در شبیه‌سازی عددی
E	کنترل‌کننده شیب اولیه نمودارهای کرنش محوری-کرنش حجمی
v	کنترل‌کننده بخش زیادی از ناحیه الاستیک مصالح
C	کنترل‌کننده نرخ کاهش مقاومت در بخش سخت شونده کنترل‌کننده مقاومت حداکثر و کرنش رخداد این مقاومت
$\epsilon^f$	کنترل‌کننده نرخ کاهش مقاومت در بخش نرم شونده رفتار مصالح کنترل‌کننده مقاومت حداکثر و کرنش رخداد این مقاومت
$\epsilon^c$	کنترل‌کننده میزان حداکثر انقباض و کرنش رخداد حداکثر انقباض کنترل‌کننده میزان اتساع و نرخ تغییرات آن پس از نقطه تغییر فاز
F	کنترل‌کننده میزان مقاومت حداکثر
$\varphi_p$	کنترل‌کننده بخشی از ناحیه الاستیک مصالح
$\varphi_0$	کنترل‌کننده میزان اتساع و نرخ تغییرات آن پس از نقطه تغییر فاز
$\psi_p$	کنترل‌کننده شیب اولیه نمودارهای کرنش محوری-کرنش حجمی



(الف)

(ب)

شکل ۵ مقایسه مدل رفتاری پیشنهادی توسط مؤلفان با مدل رفتاری (الف) موهر-کولمب (ب) دانکن-چانگ

### نتیجه گیری

همه جانبه بالا برای بتن پلاستیک سخت تا قبل از مقدار حداکثر، مقادیر کرنش حجمی به دست آمده از مدل عددی، دارای مقداری اختلاف با نتایج آزمایشگاهی می باشد که پیشنهاد می شود در ادامه این تحقیق توابع پتانسیل دیگری برای شبیه سازی بهتر، مورد بررسی قرار گیرد. همچنین از مزایای این مدل پیشنهادی می توان به مدل سازی هم زمان رفتار سخت شونده- نرم شونده با در نظر گرفتن فقط یک تابع پیوسته برای سطح تسلیم و پتانسیل اشاره نمود.

### تشکر و قدردانی

در نهایت از همکاری بی دریغ جناب مهندس ظهوریان کارشناس ژئوتکنیک شرکت مهارآب، در این پژوهش تشکر و قدردانی می نمایم.

تمرکز اصلی این تحقیق بر ارائه یک رویکرد برای شبیه سازی رفتار مصالح بتن پلاستیک توسط یک مدل رفتاری سخت شونده- نرم شونده کرنشی در فضای تنش انحرافی- کرنش محوری و کرنش حجمی- کرنش محوری بوده است. مطابق نتایج حاصل از شبیه سازی عددی نتایج آزمایشگاهی، منحنی های تنش- کرنش حاصل از تحلیل عددی برای هر دو بتن پلاستیک نرم و سخت با توجه به اصلاحاتی در توابع سخت شوندگی و نرم شوندگی بتن پلاستیک، با دقت کافی منطبق به نتایج آزمایشگاهی می باشند. همچنین منحنی های کرنش حجمی- محوری حاصل از تابع پتانسیل اصلاحی، برای بتن پلاستیک نرم، و در تنش همه جانبه پایین برای بتن پلاستیک سخت، انطباق نسبتاً قابل قبولی را نشان می دهد در حالی که در تنش های

### مراجع

1. Imran, I., and Pantazopoulou, S., "Experimental Study of Plain Concrete under Triaxial Stress," *ACI Materials Journal-American Concrete Institute*, Vol. 93, PP. 589-601, (1996).
2. Bazant, Z. P., and Oh, B. H., "Strain-Rate Effect in Rapid Triaxial Loading of Concrete," *Journal of Engineering Mechanics-ASCE*, Vol. 108, PP. 764-782, (1982).
3. Gerstle, K. H., "Simple Formulation of Biaxial Concrete Behavior," *Journal Proceedings*, PP. 62-68, (1981).
4. Chen, W., and Saleeb, A., "Constitutive equations for engineering materials", Vol. 1, PP. 7-573, Elasticity and modelling: Elsevier Publications, (1994)
5. Bangash, M., "Concrete and Concrete Structures: Numerical Modelling and Applications", (1989).
6. Kang, H. D., and Willam, K. J., "Localization Characteristics of Triaxial Concrete Model", *Journal of engineering mechanics*, Vol. 125, PP. 941-950, (1999).
7. Imran, I., and Pantazopoulou, S., "Plasticity Model for Concrete under Triaxial Compression", *Journal of engineering mechanics*, Vol. 127, PP. 281-290, (2001).
8. Grassl, P., Lundgren, K., and Gylltoft, K., "Concrete in Compression: a Plasticity Theory with a Novel Hardening Law", *International Journal of Solids and Structures*, Vol. 39, PP. 5205-5223, (2002).
9. Bazant, Z. P., and Bhat, P. D., "Endochronic Theory of Inelasticity and Failure of Concrete", *Journal of the Engineering Mechanics Division*, Vol. 102, PP. 701-722, (1976).

10. Rivlin, R., "Some Comments on the Endochronic Theory of Plasticity", in *Collected Papers of RS Rivlin*, ed: Springer, PP. 1592-1609, (1997).
11. Valanis, K., and Lee, C. F., "Some Recent Developments of the Endochronic Theory with Applications", *Nuclear Engineering and Design*, Vol. 69, PP. 327-344, (1982).
12. Wu, H. C., and Komarakulnanakorn, C., "Endochronic Theory of Continuum Damage Mechanics", *Journal of engineering mechanics*, Vol. 124, PP. 200-208, (1998).
13. Yazdani, S., and Schreyer, H., "Combined Plasticity and Damage Mechanics Model for Plain Concrete", *Journal of engineering mechanics*, Vol. 116, PP. 1435-1450, (1990).
14. Voyiadjis, G. Z., and Abu-Lebdeh, T. M., "Plasticity Model for Concrete Using the Bounding Surface Concept", *International Journal of Plasticity*, Vol. 10, PP. 1-21, (1994).
15. Lee, J., and Fenves, G. L., "Plastic-Damage Model for Cyclic Loading of Concrete Structures", *Journal of engineering mechanics*, Vol. 124, PP. 892-900, (1998).
16. Krätzig, W. B., and Pölling, R., "Elasto-Plastic Damage-Theories and Elasto-Plastic Fracturing-Theories—A Comparison", *Computational materials science*, Vol. 13, PP. 117-131, (1998).
17. Park, H., and Kim, H., "Microplane Model for Reinforced-Concrete Planar Members in Tension-Compression", *Journal of Structural Engineering*, Vol. 129, PP. 337-345, (2003).
18. Ozbolt, J., and Bazant, Z. P., "Microplane Model for Cyclic Triaxial Behavior of Concrete", *Journal of engineering mechanics*, Vol. 118, PP. 1365-1386, (1992).
19. Caner, F. C., and Bazant, Z. P., "Microplane Model M4 for Concrete. II: Algorithm and Calibration", *Journal of Engineering Mechanics*, Vol. 126, PP. 954-961, (2000).
20. Bazant, Z. P., Caner, F. C., Carol, I., Adley, M. D., and Akers, S. A., "Microplane Model M4 for Concrete. I: Formulation with Work-Conjugate Deviatoric Stress", *Journal of Engineering Mechanics*, Vol. 126, PP. 944-953, (2000).
21. De Borst, R., "Integration of Plasticity Equations for Singular Yield Functions", *Computers & structures*, Vol. 26, PP. 823-829, (1987).
22. Matzenmiller, A., and Taylor, R. L., "A Return MaPPing Algorithm for Isotropic Elastoplasticity", *International journal for numerical methods in engineering*, Vol. 37, PP. 813-826, (1994).
23. Nyssen, C., "An Efficient and Accurate Iterative Method, Allowing Large Incremental Steps, to Solve elasto-plastic problems", *Computers & Structures*, Vol. 13, PP. 63-71, (1981).
24. Simo, J., and Taylor, R., "A Return MaPPing Algorithm for Plane Stress Elastoplasticity", *International Journal for Numerical Methods in Engineering*, Vol. 22, PP. 649-670, (1986).
25. Wissmann, J. W., and Hauck, C., "Efficient Elastic-Plastic Finite Element Analysis with Higher Order Stress-Point Algorithms", *Computers & Structures*, Vol. 17, PP. 89-95, (1983).
26. Li, H-z., Xiong, G.-d., and Zhao, G.-p., "An Elasto-Plastic Constitutive Model for Soft Rock Considering Mobilization of Strength", *Transactions of Nonferrous Metals Society of China*, Vol. 26,

- PP. 822-834, (2016).
27. Liu, L. J., Ye, X. G., Chong, X., Jiang, Q., and Xie, L. L., "Nonlinear Numerical Simulation Analysis on Mechanical Behavior of High-Strength Concrete Beams Reinforced by HRBF500 Steel", *Applied Mechanics and Materials*, PP. 1607-1613, (2012).
  28. Zhang, J., Hu, L., Pu, J., and Yin, K., "Behavior of Plastic Concrete Diaphragm Walls in Three Gorges Project", *Tsinghua Science and Technology*, Vol. 4, PP. 1367-1370, (1999).
  29. Duncan, J. M., and Chang, C.-Y., "Nonlinear Analysis of Stress and Strain in Soils", *Journal of the soil mechanics and foundations division*, Vol. 96, PP. 1629-1653, (1970).
  30. Bažant, Z. P., and Shieh, C.-L., "Endochronic Model for Nonlinear Triaxial Behavior of Concrete", *Nuclear Engineering and Design*, Vol. 47, PP. 305-315, (1978).
  31. Bazant, Z., "Endochronic Inelasticity and Incremental Plasticity", *International Journal of Solids and Structures*, Vol. 14, PP. 691-714, (1978).
  32. Bažant, Z. P., and Bhat, P. D., "Prediction of Hysteresis of Reinforced Concrete Members", *Journal of the Structural Division*, Vol. 103, PP. 153-167, (1977).
  33. Gambarova, P., and Floris, C., "Microplane Model for Concrete Subject to Plane Stresses", *Nuclear Engineering and Design*, Vol. 97, PP. 31-48, (1986).
  34. Carol, I., Prat, P. C., and Bažant, Z. P., "New Explicit Microplane Model for Concrete: Theoretical Aspects and Numerical Implementation", *International Journal of Solids and Structures*, Vol. 29, PP. 1173-1191, (1992).
  35. Vermeer, P. A., and De Borst, R., "Non-Associated Plasticity for Soils, Concrete and Rock", *HERON*, Vol. 29, Num. 3; PP. 1-64, (1984).
۳۶. طرح احداث سد مخزنی بر روی رودخانه سومبار، گزارش طراحی بدنه سد، شرکت مهندسی مشاور مهار آب، (۱۳۸۶).
37. ICOLD, "Filling Materials For Watertight Cut-Off Walls", *International Commission on Large Dams*, bulletin No.51, (1985).
  38. Janbu, N., "Soil Compressibility as Determined by Oedometer and Triaxial Tests", *Proceedings of the European conference on soil mechanics and foundation engineering*, PP. 19-25, (1963).
  39. Hansen, J. B., "Some Stress-Strain Relationships for Soils", *Intl Conf Soil Mech & Fdn Eng Proc*, (1965).
  40. Rowe, P., "Theoretical Meaning and Observed Values of Deformation Parameters for Soil", *Proceedings of the Stress-Strain Behaviour of Soils, Roscoe Memorial Symposium*, PP. 143-194, (1971).
  41. Itasca, Consulting, and Group, "FLAC—Fast Lagrangian Analysis of Continua, Version 7.0 User's Guide", Itasca, Minneapolis, Minn, USA, (2011).

